



بررسی پترولوجیکی توده نفوذی ممتاز استان کرمان

مهدی عبدالزاده^۱ و (ضا) درخشانی*

(۱) شرکت بنیان‌سازه کارمانیان

(۲) گروه زمین‌شناسی، دانشگاه شهید باهنر کرمان، rezaderakhshani@yahoo.com

*) عهده‌دار مکاتبات

دریافت: ۹۰/۱۱/۱۰؛ دریافت اصلاح شده: ۹۰/۸/۱۲؛ پذیرش: ۹۰/۹/۲۰؛ قابل دسترس در تاریخ:

پکیج

توده نفوذی کوه ممتاز در ۴ کیلومتری جنوب غربی استوک گرانیتوئیدی سرچشم رخمنون دارد و در ولکانیت‌ها و توف‌های ائوسن تزریق شده است. این منطقه بخشی از زون آتش‌شناختی ایران مرکزی است و شامل مجموعه‌ای از گرانیتوئیدها، دایک‌های آپلیتی و پگماتیت‌ها می‌باشد. بافت غالب این سنگ‌ها دانه‌ای و پورفیروئیدی است اما بافت‌های پرتیتی-آنتیپرتیتی، گرانوفیری، میکروگرافیکی و میرمکتی نیز در آنها قابل مشاهده است. با توجه به مطالعات صحرائی، خصوصیات سنگ‌شناسی، رفتار اکسیدهای عناصر اصلی و عناصر کمیاب، نمودارهای عنکبوتی و ویژگی‌های ژئوشیمیائی، سنگ‌های نفوذی منطقه جزء سری کالکوآلکالن و مربوط به منطقه فروراش حاشیه قاره‌ای می‌باشند. این‌ماگما، احتمالاً در نتیجه فروراش پوسته اقیانوسی نوتیس و در اثر برخورد صفحه عربی با ایران مرکزی بوجود آمده است و باعث تشکیل ماگمای قوس آتش‌شناختی شده است. زمان برخورد صفحه عربی با ایران مرکزی کرتاسه بالائی و ایجاد گرانیتوئیدها احتمالاً همزمان با فعالیت فاز کوه‌زایی پیرنه می‌باشد.

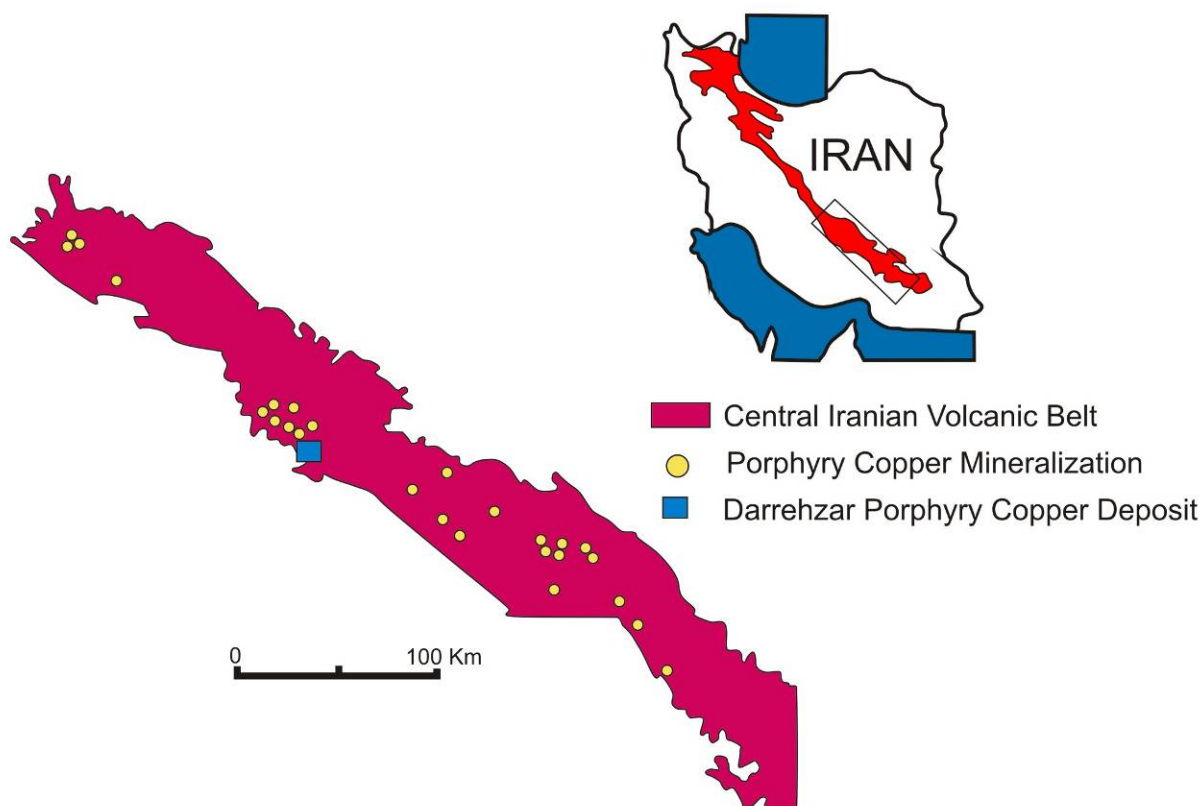
واژه‌های کلیدی: گرانیتوئید، مس، فروراش، زون آتش‌شناختی، فاز کوه‌زایی.

۱- مقدمه

سنگ‌های منطقه را تشکیل می‌دهند. نفوذ توده‌های عمیق و نیمه‌عمیق تیپ جبال‌باز و کوه‌پنج در این واحدها، دگرسانی گرمانی، گسل‌خوردگی و کانسارسازی گسترهای را در سطح منطقه ایجاد نموده است (Demirjevic 1973). دگرسانی‌های فیلیک، رسی و پروپیلی‌تیک بیشترین گستررش را در منطقه دارند. همچنین غنی‌سازی برونزاد و تشکیل زون‌های اکسیدان و کلاهک آهنه بر روی اکثر کانسارهای منطقه قابل مشاهده است.

در این مقاله، با انجام بررسی‌های صحرائی، نمونه برداری، بررسی مقاطع میکروسکوپی، تجزیه شیمیایی گرانیتوئیدهای منطقه به روش XRF، نامگذاری تعیین سری ماگمایی، منشاء و موقعیت تکتونیکی منطقه مورد مطالعه مورد بررسی قرار گرفت.

گرانیت‌ها، از سازندگان عمدۀ پوسته زمین بوده و مطالعه آنها می‌تواند محققین را در حل مسائل مربوط به حرکات لیتوسفری، تحولات زمین‌شناسی ساختمانی و زمین ساخت و تشخیص چگونگی تکامل لیتوسفری پوسته زمین کمک نماید (عبدالزاده ۱۳۸۴). براساس تقسیم‌بندی زیرناحیه‌های فلززایی استان کرمان، کمربند دهچ-ساردوئیه به ۶ زیر واحد قابل تقسیم می‌باشد. ناحیه کوه ممتاز-کوه‌پنج یکی از مناطقی است که بیشترین و مهم‌ترین کانسارها و اندیشهای مس پورفیری و رگهای کرمان (تصویر ۱) از جمله سرچشم، دره‌زار، کوه‌پنج، سرکوه، حسین‌آباد، نوچون، دهسیاهان، آب‌تلخون و سرباغ در آن قرار گرفته است. واحدهای آتش‌شناختی-رسوبی ائوسن اصلی‌ترین



(B. (Shahabpour 1996) تصویر ۱- نقشه کمربند آتشفشنای - رسویی ایران مرکزی و موقعیت منطقه کرمان در این کمربند (برگرفته با کمی تغییر از زیر تقسیمات زمین شناسی ناحیه کرمان. موقعیت کانسراهای مس پورفیری (●))

بوده و رخمنونهای اصلی آن را سنگ‌های آذرین بویژه سنگ‌های آتشفشنای سوزوئیک تشکیل می‌دهند. این زون با دارا بودن ویژگی‌های خاص تکتونیکی و سنگ‌شناسی از مناطق هم‌جوار خود و همچنین سایر مناطق آذرین ایران متمایز می‌شود.

۱-۱- موقعیت جغرافیایی

منطقه مورد مطالعه در استان کرمان و در ۴ کیلومتری جنوب غربی سرچشمeh واقع شده است. این منطقه، بخشی از نقشه زمین شناسی ۱:۱۰۰۰۰۰ پاریز است که در محدوده عرض جغرافیایی $29^{\circ}52'$ و $29^{\circ}57'$ شمالی و طول جغرافیایی $55^{\circ}56'$ و $55^{\circ}46'$ شرقی واقع شده است.

منطقه مورد مطالعه در جنوب شرقی کمربند آتشفشنای ایران مرکزی و در قسمت مرکزی کمربند دهچ- ساردوئیه واقع شده است. راه دسترسی به این منطقه از طریق جاده آسفالته کرمان- رفسنجان- پاریز- سیرجان و جاده شوشه پاریز به معدن دره زار می‌باشد.

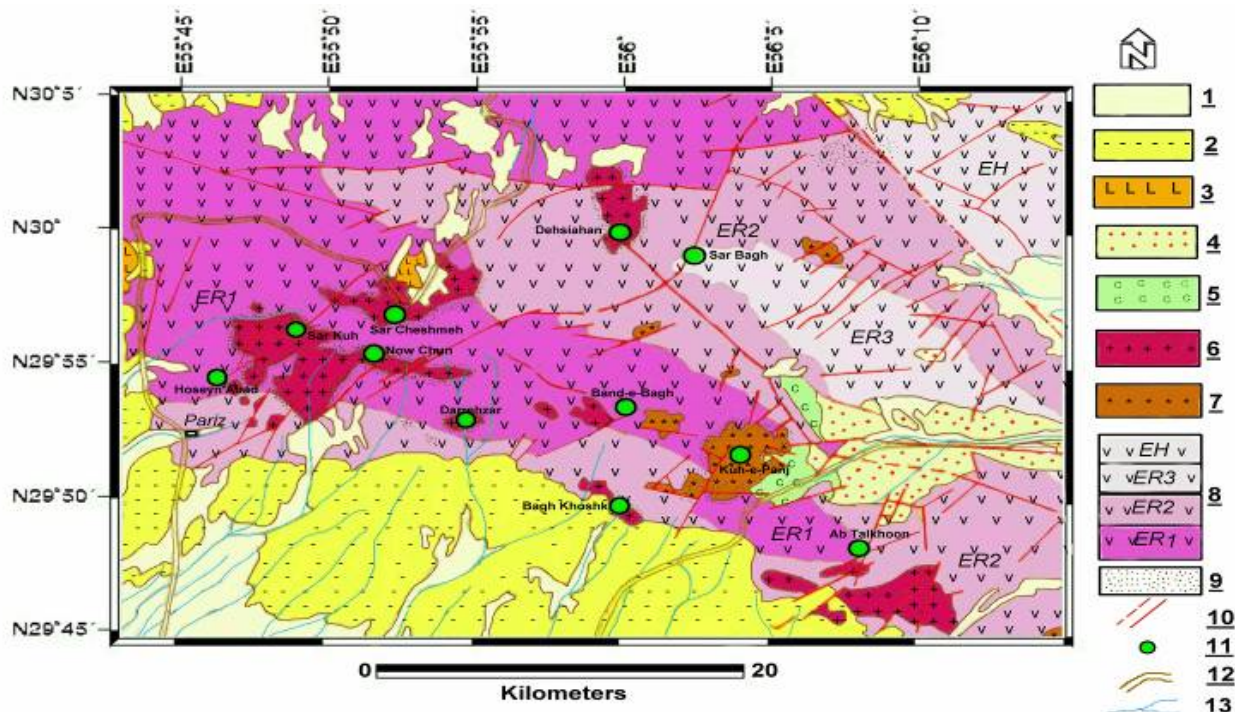
۲- چینه‌شناسی و لیتو‌لوجی

منطقه مورد مطالعه شامل گدازه‌های آندزیتی - بازالتی، توف و توفیت‌های ورقه‌ای به رنگ زرد و سبز، توف برشی به سن اوسن پیشین و پسین است (تصویر ۲). در این منطقه، تناوبی از ماسه سنگ قرمز و سیلتستون متعلق به سازند قرمز بالایی، مارن ماسه‌ای، رس و کنگلومرا به سن پلیوسن و نهشته‌های کواترنری وجود دارد (عبدلزاده ۱۳۸۴).

۲- بهث

۲-۱- زمین‌شناسی عمومی

منطقه مورد مطالعه، قسمتی از زون آتشفشنای ایران مرکزی است (Demitrijevic 1973). این زون به نام‌های سهند - بزمان و همچنین ارومیه - دختر نیز نامیده شده است (درویش زاده ۱۳۷۰). ابتدای این محور در آذربایجان و انتهای آن تا کوه بزمان در سیستان و بلوچستان کشیده شده است. این زون دارای روند شمال غربی- جنوب شرقی می‌شود.



تصویر ۲- نقشه زمین شناسی منطقه مطالعاتی (برگرفته از نقشه ۱:۵۰۰۰۰۰ Demitrijevic 1973).

توده های کوچکتر دیگری در اطراف این توده قابل مشاهده می باشند که از نظر ترکیب سنگ شناسی مشابه توده اصلی هستند. رگه ها و دایک های آپلیتی، ریولیتی و یا سیلیسی، سنگ های نفوذی و سنگ های مجاور توده را قطع نموده اند.

واحدهای سنگی منطقه که ارتفاعات بند ممزار- پاریز را تشکیل داده اند مجموعه ای از سنگ های رسوبی- آتشفسانی به سن ائوسن میانی- بالایی (Demitrijevic 1973, Bazin & Hubner 1969) می باشند که ترکیب آنها عمدتاً شامل آگلومرا، توف، گدازه های آندزیتی، ترکی آندزیتی و بازالتی می باشد. توده های نفوذی به شکل استوک و دایک های متعدد در زمان الیگومیوسن- پلیوسن در این کمپلکس نفوذ کرده اند و باعث کانسارسازی و دگر سازی شده اند.

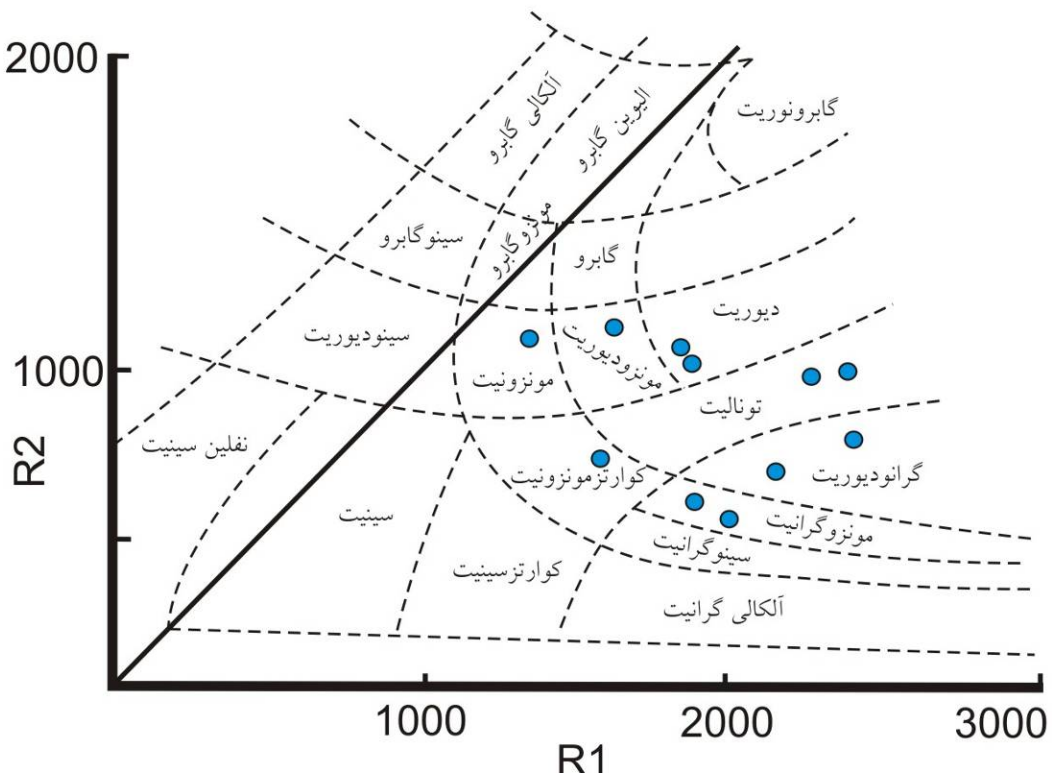
ساختمان استوک گرانیتوئیدی کوه ممزار، توده ای بوده و ترکیب سنگ شناسی آن عمدتاً اسیدی می باشد. نسبت پلازیوکلاز به آکالی فلذیسپار در این سنگ ها بسیار متغیر است، این تغییرات ترکیب سنگ شناسی متفاوتی را ایجاد نموده است. در نمودار R1-R2 et al. 1980 سنگ ها عموماً در محدوده: دیوریت، کوارتزدیوریت، کوارتز مونزو دیوریت تونالیت، گرانزو دیوریت، مونزو گرانیت و سینو گرانیت قرار می گیرند. بیشترین حجم سنگ های این توده با ترکیب گرانزو دیوریت و مونزو گرانیت است (تصویر ۳).

اندازه کانی های تشکیل دهنده آنها ۰/۵ تا ۲ میلیمتر بوده بنابراین جزء سنگ های ریز بلور تا متوسط بلور می باشند. بافت آنها دانه ای و پورفیریئیدی بوده و گاهی بافت های پرتیتی- آنتی پرتیتی، گرانوفیری، میکرو گرافیکی و میرمکیتی نیز در آنها مشاهده می شود.

۲-۱- تونالیت

این سنگ ها بیشتر در حاشیه توده کوه ممزار مشاهده می شوند.

رنگ توده نفوذی ممزار سفید تا کرم و تن آن روشن است. در بعضی موارد به علت عمل آبهای سطحی، لایه ای از ورنی صحرایی بر روی سنگ ها تشکیل شده است؛ در نتیجه رخمنون به رنگ قهوه ای تیره مشاهده می شود. شکل توده نامنظم است و رخمنون های فرعی هم در جنوب غربی و هم شرق توده (معدن دره زار) دیده می شوند. در اثر هوازدگی مکانیکی، توده به بلوک های خرد شده با درز و شکاف فراوان تبدیل شده که در میان ولکانیک ها قابل مشاهده می باشد. به علت وجود قطعات سنگ های آتشفسانی بازیک ائوسن درون سنگ های نفوذی و دگر سان شدن سنگ های آتشفسانی حواشی توده نفوذی، می توان نتیجه گرفت که توده نفوذی بعد از سنگ های آتشفسانی ائوسن تزریق شده است. همچنین با توجه به این که توده نفوذی نهشته های سازند قرمز بالایی به سن میوسن با ناپیوستگی روی آن قرار دارد، در نتیجه سن آن را می توان الیگومیوسن در نظر گرفت.



(Delaroch et al. 1980) تصویر ۳ - موقعیت نمونه های توده نفوذی کوه ممتاز در تقسیم بندی دلاروش و همکاران

۲-۱۴- پترولوزی و پترولوزن پلوتونیسم

۲-۱۴-۱- منشاء گرانیتوئیدهای منطقه مورد مطالعه

سنگ های منطقه مورد مطالعه با توجه به تقسیم بندی کولیز و کپل (Chappell & White 1974, Collins et al. 1982) اشتريکایزن بیشتر خصوصیات تیپ I را نشان می دهند (تصویر ۴). همچنین براساس نمودار عنکبوتی ویتنر (Winter 2001) گرانیتوئیدهای مورد مطالعه جزء نواحی فروزانش و تیپ I می باشند (تصویر ۵).

۲-۱۴-۲- سری ماقمائی گرانیتوئیدهای منطقه مورد مطالعه
در این پژوهش، از نمودار دوتائی سیلیس در مقابل ($\text{Na}_2\text{O} + \text{K}_2\text{O}$) (Rickwood 1989) برای تشخیص آکالان و یا ساب آکالان بودن نمونه های مورد مطالعه و از نمودار مثلثی (Rickwood AFM 1989)، برای تفکیک سری کالکو آکالان از تولیتی استفاده گردید. در نمودار مثلثی AFM، تمام نمونه ها در در محدوده کالکو آکالان قرار گرفتند که معرف نواحی فروزانش می باشند (تصویر ۶ و ۷).

همچنین بر اساس نمودار مانیار و پیکولی (Maniar & Picoli 1989) سنگ های منطقه عمدتاً در محدوده سنگ های متا آلومینوس قرار می گیرند (تصویر ۸).

۲-۱۴-۲- کوارتز دیوریت و کوارتز مونزو دیوریت

حجم این سنگ ها به اندازه تونالیت ها می باشد و بیشتر در حاشیه های توده کوه ممتاز مشاهده می شوند.

۲-۱۴-۳- گرانودیوریتها

گرانودیوریت ها، بیشترین سنگ های منطقه را تشکیل می دهند. حجم این سنگ ها از حاشیه به سمت مرکز توده افزایش می یابد.

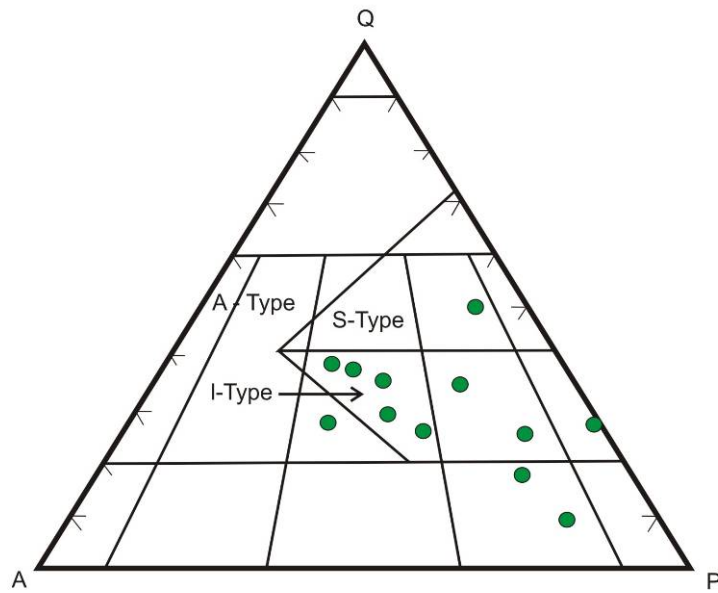
۲-۱۴-۴- گرانیتها

این سنگ ها در مرکز توده های گرانیتوئیدی و در ارتفاعات منطقه قرار دارند. این گرانیت ها با توجه به درصد کانی های فلدسپار آکالی و پلازیوکلاز، شامل دو گروه مونزو گرانیت و سینو گرانیت (Le Maitre 1976) هستند.

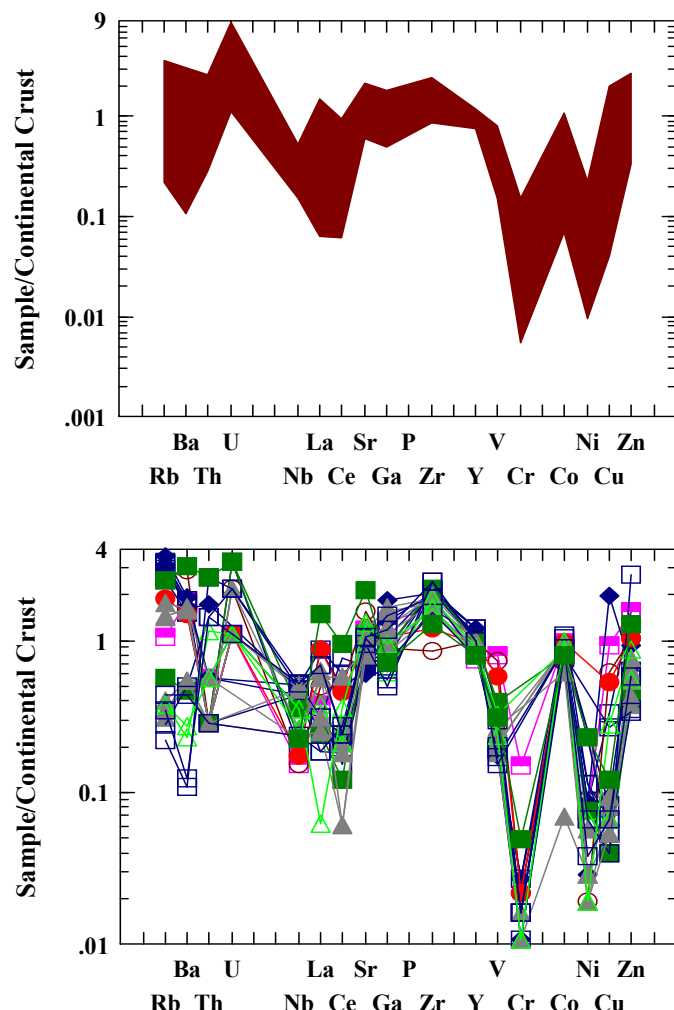
البته در منطقه مورد مطالعه امکان جدایش این دو گروه گرانیت وجود ندارد، بنابراین عنوان گرانیت برای آنها به کار می رود. ها از آنها نام برده می شود.

۲-۱۴-۵- رگه های نفوذی

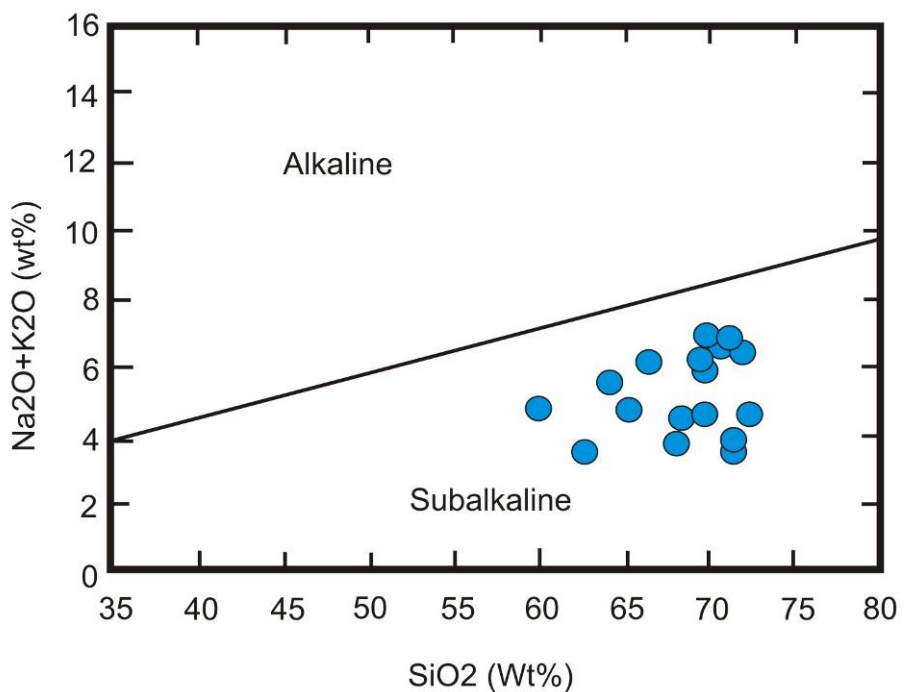
علاوه بر انواع گرانیتوئیدهای نفوذی، سنگ های نفوذی نیز به صورت آپلیتی و پگماتیتی به داخل گرانیتوئیدهای و سنگ های اطراف آنها تزریق شده اند. رگه های آپلیتی و رگه های پگماتیتی باافت میکرو گرافیکی در منطقه ممتاز قابل مشاهده می باشند.



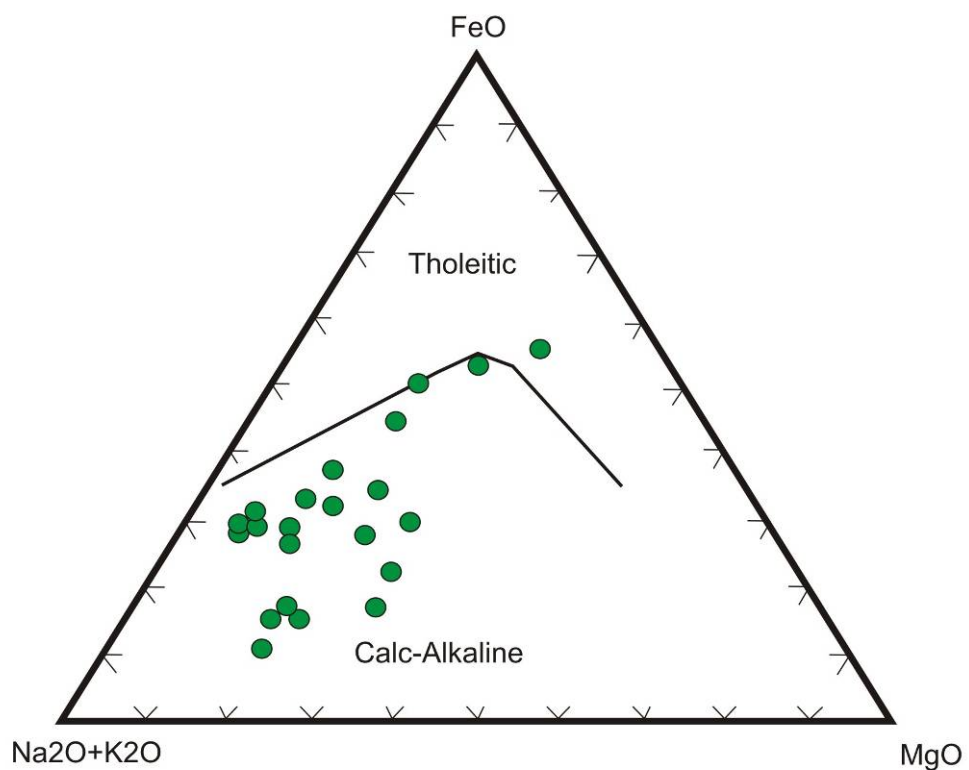
تصویر ۴- نحوه توزیع سه نوع گرانیت در دیاگرام اشتربکایزن (Chappell & White 1974, Collins et al. 1982) نمونه‌های منطقه مورد مطالعه در محدوده گرانیتهای نوع I قرار گرفته‌اند.



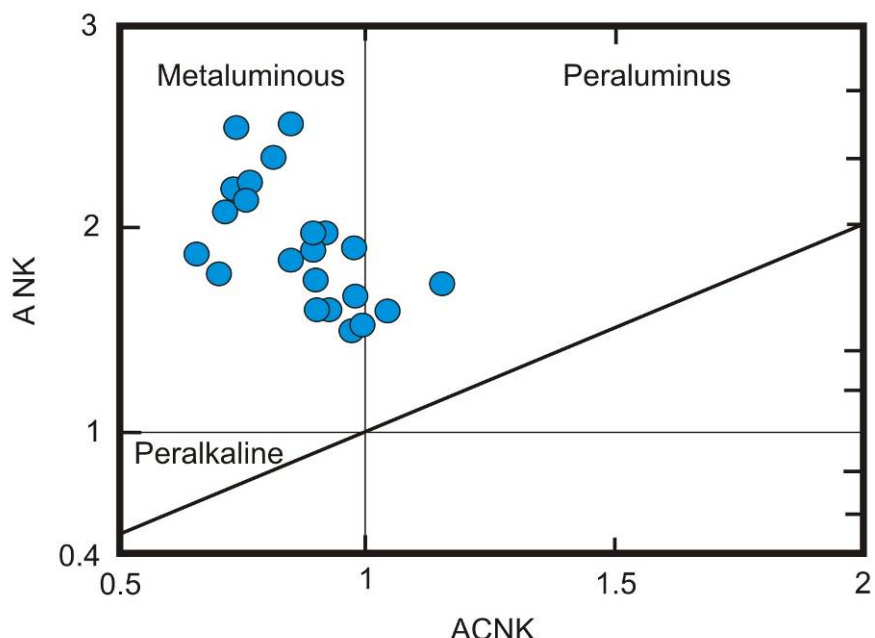
تصویر ۵- مقایسه نمودار عنکبوتی گرانیتهای مورد مطالعه با گرانیت تیپ I حاصل از زون فرورانش (Winter, 2001)



تصویر ۶- براساس نمودار دوتائی ریکوود (Rickwood 1989)، نمونه‌های مورد مطالعه در محدوده ساب آلکالن قرار دارند.



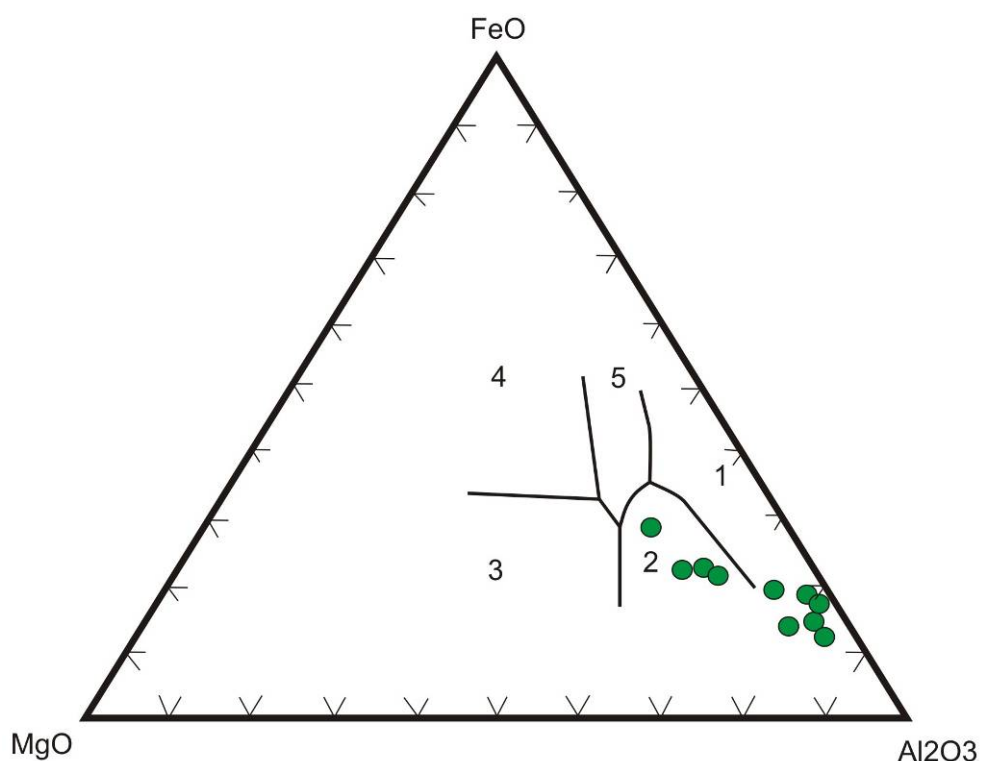
تصویر ۷- براساس نمودار مثلثی AFM ریکوود (Rickwood 1989) تمام نمونه‌ها در محدوده کالکوآلکالن قرار می‌گیرند..



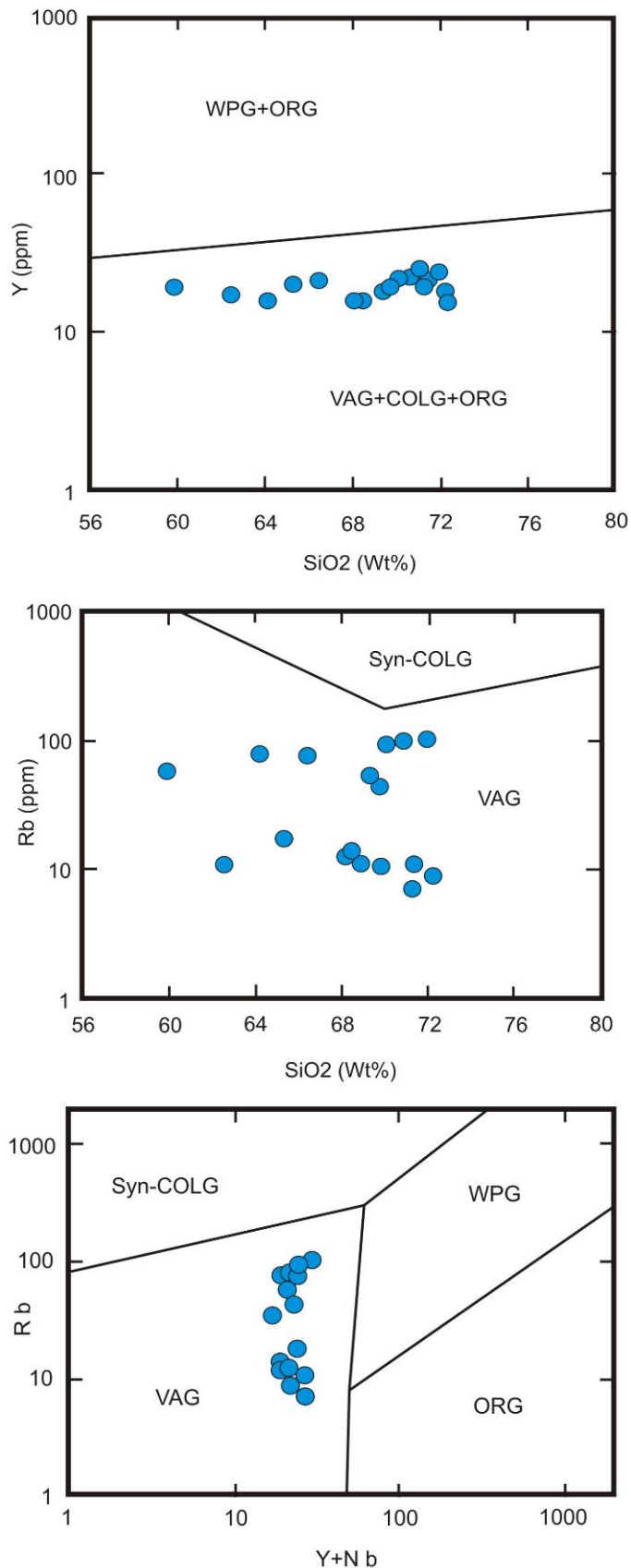
تصویر ۸- تعیین درجه غنی شدگی از آلومین نمونه های توده نفوذی کوه ممتاز بر اساس نمودار ANK-ACNK مانیار و پیکولی (Maniar & Picoli 1989).

موقعیت سنگ ها در نمودار پیرس (Pearce et al. 1984) که بر مبنای پتروگرافی و ویژگی های ژئوشیمیائی عناصر کمیاب می باشد، در محدوده گرانیت های قوس آتشفسانی (VAG) قرار می گیرند (تصویر ۱۰).

۴-۵- تقسیم بندی گرانیت های منطقه مورد مطالعه بر مبنای موقعیت تکتونیکی
با توجه به تقسیم بندی پیرس (Pearce 1977) براساس عناصر اصلی، نمونه های مورد مطالعه در منطقه کوهزایی قرار می گیرند (تصویر ۹).



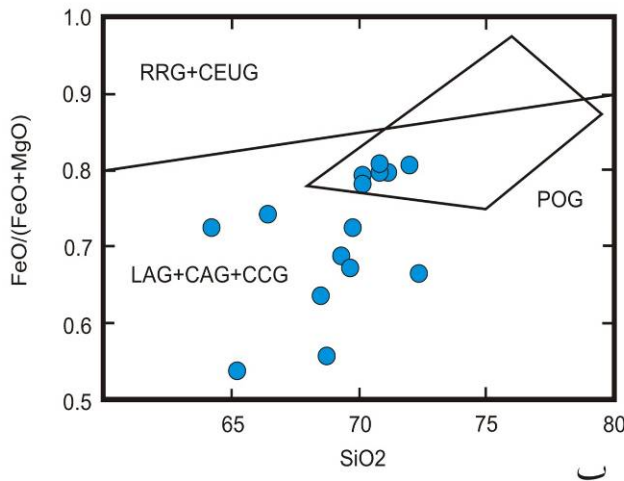
تصویر ۹- موقعیت نمونه های مورد مطالعه در نمودار سه تایی MgO, FeO, Al₂O₃ پیرس (Pearce 1977)



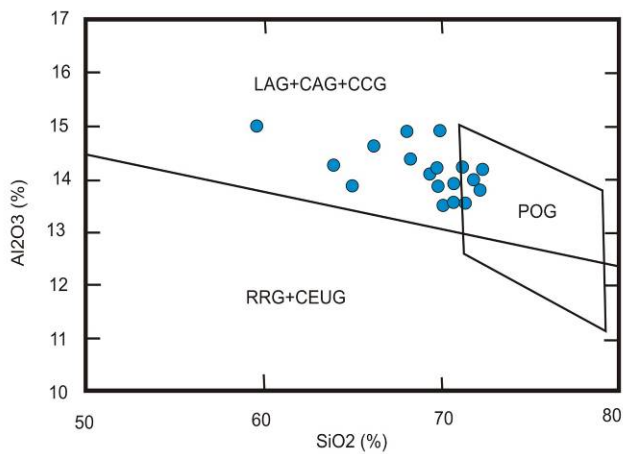
تصویر ۱۰- موقعیت نمونه‌های مورد مطالعه در نمودار Rb-(Y-Nb) برای گرانیت‌ها (Pearce et al. 1984)، حوضه گرانیتهای قوس آتشفشانی (VAG) از گرانیت‌های همزمان با برخورد (Syn-COLG)، گرانیت‌های پشتۀ اقیانوسی (ORG) و گرانیت‌های درون صفحه‌ای (WPG) جدا می‌باشد.

بسیار شبیه است و به طور اختصاصی مشخصاً از نوع CAG یا به عبارتی از نوع گرانیتوئیدهای قاره‌ای می‌باشد. در حالی که گرانیتوئیدهای منطقه در یک پوسته قاره‌ای جایگزین شده‌اند، لذا نمی‌توانند از نوع گرانیتوئیدهای جزایر قوسی باشند. تعدادی از نمونه‌ها در منطقه گرانیت‌های بعد از کوهزایی (POG) قرار دارند که در نتیجه آن احتمالاً فرورانش پس از برخورد نیز وجود داشته‌است. بر اساس روش مانیار و پیکولی (Maniar & Picoli 1989) آن احتمالاً فرورانش پس از برخورد نیز وجود داشته است (تصویر ۱۱).

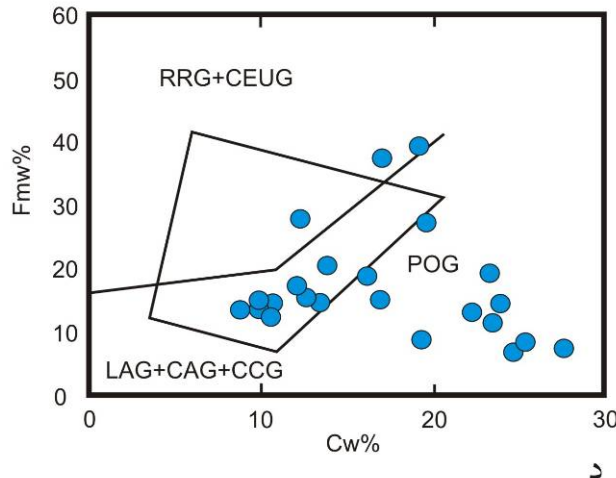
در حالیکه گرانیتوئیدهای منطقه در یک پوسته قاره‌ای جایگزین شده‌اند، لذا نمی‌توانند از نوع گرانیتوئیدهای جزایر قوسی باشند. تعدادی از نمونه‌ها در منطقه گرانیت‌های بعد از کوهزایی (POG) قرار دارند که در نتیجه آن احتمالاً فرورانش پس از برخورد نیز وجود داشته‌است. بر اساس روش مانیار و پیکولی (Maniar & Picoli 1989) آن احتمالاً فرورانش پس از برخورد نیز وجود داشته است (تصویر ۱۱).



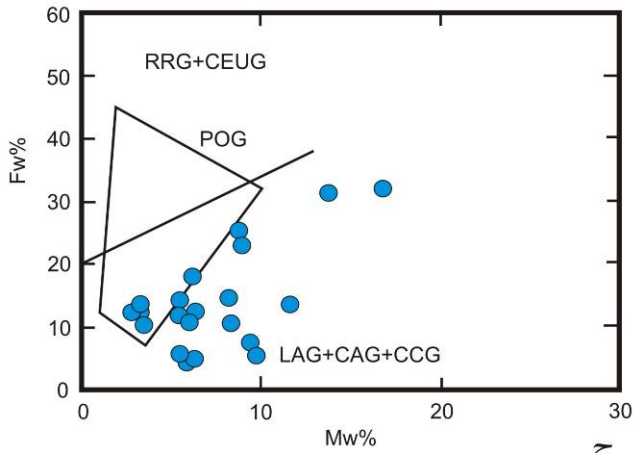
ب



الف



د



ج

تصویر ۱۱- موقعیت نمونه‌های مورد مطالعه بر اساس تقسیم‌بندی مانیار و پیکولی (Maniar & Picoli 1989).

متاآلومینوس قرار گرفته و معرف نواحی فرورانش می‌باشد. این گرانیتوئیدها بر اساس تقسیم‌بندی چاپل و وایت (Chappell & White 1974) خصوصیات تیپ I را نشان می‌دهند. با توجه به تقسیم‌بندی مانیار و پیکولی (Maniar & Picoli 1989) گرانیتوئیدهای منطقه از نوع گرانیت‌های قوس قاره‌ای و یا برخورد قاره‌ای هستند. همچنین براساس تقسیم‌بندی پیرس (Pearce 1977) گرانیتوئیدهای

۳- نتیجه‌گیری

منطقه مورد مطالعه بخش بسیار کوچکی از زون آتششسانی ایران مرکزی به شمار می‌رود که در جنوب غربی سرچشمه واقع شده است. ترکیب سنگ شناسی این توده شامل گرانودیوریت، کوارتزدیوریت، کوارتزمونزو دیوریت، تونالیت، مونزوگرانیت و سیننونگرانیت می‌باشد. گرانیتوئیدهای مورد مطالعه در محدوده کالکوآلکالن و

منطقه از نوع کوهزائی و مربوط به قوس قاره‌ای (VAG) می‌باشد. این امر در نتیجه فرورانش پوسته اقیانوسی نئوتیپس به زیر ایران مرکزی می‌باشد که سبب تشکیل مagma‌ی قوس آتششانی شده است.

مراجع

درویش زاده، ع.، ۱۳۷۰، "زمین‌شناسی ایران"، نشر دانش‌امروز: ۹۰۱

ص.

عبدلزاده، م..، ۱۳۸۴، "بررسی ژئوشیمی، کانی سازی و دگرسانی کانسار مس دره زار"، پایان نامه کارشناسی ارشد زمین‌شناسی، ۳۲۷

ص.

Bazin, D. & Hubner, H., 1969, "Copper deposits in Iran", *Geological survey of Iran, GSI, Tehran, Rep. No. 13, 195 pp.*

Chappell, B. W. & White, A. J. R., 1974, "Two contrasting granite types", *Pacific Geology, Vol. 8: 173-174.*

Collins, W. J., Beams, S. D., White, A. J. R. & Chappell, B. W., 1982, "Nature and origin of A-type granites with particular reference to southeastern Australia", *Contributions to Mineralogy and Petrology, Vol. 80 (2): 189-200.*

Delaroch, H., Leterrier, J., Grande claude, P. & Marchal, M., 1980, "A classification of volcanic and plutonic rock using R1-R2 diagrams and major element analyses- Its relationships and current nomenclature", *Chem. GEOL., Vol. 29: 183-210.*

Demitrijevic, M. D., 1973, "Geology of Kerman region: institute for geological and mining exploration and institution of nuclear and other mineral raw materials, Beograd- Yugoslavia, Iran", *Geol. SURVEY Report, Yu/52.*

Le Maitre, R. W., 1976, "Some problems of projection of chemical data in to mineralogical classification", *Contributions to Mineralogy and Petrology, Vol. 56 (2): 181-90.*

Maniar, P. D. & Piccoli, P. M., 1989, "Tectonic environment of granitoids", *Geological Society of America Bulletin, Vol. 101 (5): 635-643*

Pearce, J. A., 1977, "Software program Igpet", *Mar 10, 2000.*

Pearce, J. A., Harris, N. B. W. & Tindle, A. G., 1984, "Trace element discrimination diagrams for the tectonic interpretation of granitic rocks", *Journal of Petrology, Vol. 25 (4), 956-983.*

Rickwood, P. C., 1989, "Boundary lines within petrologic diagrams which use oxides of major and minor elements", *Lithos, Vol. 22 (4): 247-263.*

Shahabpour, J., 1996, "Use of drainage trends as a prospecting tool in the central Iranian porphyry copper belt", *Canadian Institute of Mining and Metallurgy Bulletin, Vol. 89 (1003): 70-75.*

Winter, J. D., 2001, "An Introduction to igneous and metamorphic petrology", *1^{edn}, Prentice Hall, 699 pp.*